

B-35

I.G. FARBENFABRIK AG FARBWERKE WILHELMSHAGEN/RIEHL

Technischer Prüfstand Oppau

Kunzbericht Nr. 305

Über die

Temperatur- und Bleiemfindlichkeit von Flugkraftstoffgemischen aus 60 Vol.-% VP 705 und 40 Vol.-% EF 100 bzw. CV₂-Benzol.

Abgeschlossen am 3. März 1945
Bearbeiter: Dipl.-Ing. Itczakowski

Die vorliegende Ausfertigung enthält
21 Blätter, davon 17 Seitenblätter

27514

Temperatur- und Bleisempfindlichkeit von Flugkraft-
stoffgemischen aus 60 Vol. % VT 705 und 40 Vol. % ET 100
bezw. CV₂b-Aromaten.

Nach dem Überladeverfahren wurden am BMW 132 Einzylinder-Flugmotor Nr. 5, Op. 290, bei einem Verdichtungsverhältnis von 1:8 und bei verschiedenen Ladelufttemperaturen von 50, 100, 150 und 200°C die Klopfgrenzkurven für folgende Kraftstoffgemische:

VT 705 + ET 100 (60:40 Vol. %)

VT 705 + CV₂b-Aromaten (60:40 Vol. %)

ermittelt. Diese beiden Kraftstoffgemische wurden ohne und mit 0,12 bzw. 0,16 Vol. % BTA-Zusatz gefahren. Die Klopfgrenzkurven sind in den Schaubildern TPr. S. 1062 bis 1067 wiedergegeben.

In einer weiteren Versuchsreihe wurden die Klopfgrenzkurven für Flugbenzol und ET 100 ohne Bleizusatz bei 160, 180, 200 und 220°C Ladelufttemperatur aufgenommen (TPr. S. 1068). Es war ursprünglich beabsichtigt, ET 100 und Flugbenzol bei Ladelufttemperaturen von 50 bis 200°C und bei 0 bis 0,16 Vol. % BTA zu untersuchen. Dies war leider nicht möglich, denn die Arbeitsdrücke p_{me} an der Klopfgrenze (im Kraftstoffüberschussgebiet) waren für Flugbenzol auch bei einer Ladelufttemperatur von etwa 200°C so hoch, dass die Ermittlung der Klopfgrenzwerte den Überlademotor gefährdet hätte.

Wie bereits im Kurzbericht Nr. 304 ausgeführt, weisen die nach dem Überladeverfahren ermittelten Klopfgrenzkurven bestimmte ausgezeichnete Punkte auf:

(1) Der höchste Arbeitsdruck p_{me} , mit der zugeordneten Luftüberschusszahl λ , (im Kraftstoffüberschussgebiet);

2. der niedrigste Arbeitsdruck p_{me_2} mit der zugeordneten Luftüberschusszahl λ_2 (im Luftüberschussgebiet).

Aus diesen Grundwerten (vgl. TPr.S. 1069, Bild 1 oben) lassen sich weitere Beziehungen herleiten:

$$1) \Delta p_{me} = p_{me_1} - p_{me_2}$$

$$2) \Delta \lambda = \lambda_2 - \lambda_1$$

$$3) \text{tg } \alpha = dp_{me} / d\lambda$$

Die aus den Klopfgrenzkurven der untersuchten beiden Kraftstoffmischungen ermittelten p_{me_1} , p_{me_2} , Δp_{me} , λ_1 , λ_2 , $\Delta \lambda$ - und $dp_{me} / d\lambda$ -Werte sind in den Schaublättern TPr.S. 1070 bis 1078 in Abhängigkeit von der Ladelufttemperatur, vom Bleigehalt und von der Motoroktanzahl wiedergegeben. Daraus lassen sich folgende Schlüsse über die Temperatur- und Bleiempfindlichkeit, sowie über den Zusammenhang mit der Motoroktanzahl ziehen.

I. Temperaturempfindlichkeit.

A) p_{me_1} , p_{me_2} , und Δp_{me} -Werte.

1) Die p_{me_1} und p_{me_2} -Werte fallen mit zunehmender Ladelufttemperatur anfangs schneller, später langsamer ab (TPr.S. 1070 und 1071). Die Temperaturabhängigkeit ist

- bei CV₂b-Aromaten-Zusatz grösser als bei ET 100 - Zusatz
- bei Bleizusatz grösser als bei den unverbleiten Kraftstoffgemischen,
- bei den p_{me_2} -Werten grösser als bei den p_{me_1} -Werten.

1) Δp_{me} ist ein Mass für die Empfindlichkeit eines Kraftstoffes hinsichtlich Klopfverhalten bei Änderung des Kraftstoffluftgemisches.

2) $\Delta \lambda$ ist ein Mass für die Verlagerung der Punkte P 1 und P 2

3) Neigung der Tangente im Wendepunkt.

2. Die Δp_{mo} - Werte wachsen mit zunehmender Ladelufttemperatur anfangs schnell, später, langsamer an (TPr.S.1072)

- a) Bei SO_2 -aromaten-Zusatz sind die Δp_{mo} -Werte grösser als bei ST 100 - Zusatz,
- b) bei Bleizusatz ist der Einfluss der Ladelufttemperatur auf die Δp_{mo} -Werte grösser als bei unverbleiten Kraftstoffen.

B) λ_1 -, λ_2 -, $\Delta\lambda$ - und $dp_{mo}/d\lambda$ - Werte.

1. Mit erhöhter Ladelufttemperatur nehmen die λ_2 -Werte zu, die λ_1 -Werte dagegen ab (TPr.S.1073). 4)

2. Mit zunehmender Ladelufttemperatur wachsen die $\Delta\lambda$ - Werte rasch an. Die Temperaturabhängigkeit ist bei Bleizusatz grösser als bei den unverbleiten Kraftstoffen (TPr.S.1074).

3. Die $dp_{mo}/d\lambda$ - Werte ändern sich bei den unverbleiten Kraftstoffen nur wenig (TPr.S.1075). Bei Bleizusatz streben die $dp_{mo}/d\lambda$ - Werte einen Höchstwert zu, um dann wieder abzufallen, dieses unerwartete Verhalten wäre noch einer eindeutigen Nachprüfung zu unterziehen.

II. Bleigefindlichkeit.

Der Bleizusatz wirkt sich bei niedrigen Ladelufttemperaturen ausserordentlich stark aus, mit zunehmender Ladelufttemperatur wird jedoch sein Einfluss immer geringer (TPr.S.1076 und 1077).

4) u.h., der Punkt P 2 wandert in das Gebiet des grösseren Luftüberschusses der Punkt P dagegen in das Gebiet höheren Kraftstoffüberschusses.

5) besonders bei den SO_2 -aromaten (Verlauf der Klopfrenzkurve, v_{me1} - und p_{me2} -Werte)

Der Einfluss des Bleigehaltes auf die p_{me_1} - und p_{me_2} -Werte ist,

- 1.) von der Kraftstoffzusammensetzung,
- 2.) von der Ladelufttemperatur

abhängig. Wie der Vergleich der TPr.S. Blätter 1076 und 1077 zeigt, sind die p_{me_1} -Werte CV₂b-Aromaten-Zusatz mit verschiedenem Bleigehalt, einer viel stärkeren Veränderung unterworfen als bei ET 100-Zusatz. Bei dem CV₂b-Aromaten-Zusatz macht sich der Bleigehalt am stärksten bei der niedrigen Ladelufttemperatur bemerkbar, wie folgende Gegenüberstellung zeigt:

	CV ₂ b-Aromaten-Zusatz + 0,16 Vol.-% BTA	ET 100-Zusatz + 0,16 Vol.-% BTA
Ladelufttemperatur 50°	$p_{me_1} = 21$ at	15 at
100	" = 17,2	13,7
150	" = 16,3	12,6
200	" = 16	11,3

Während bei ET 100 mit zunehmender Ladelufttemperatur beim Abfall der p_{me_1} -Werte eine gewisse Stetigkeit zu beobachten ist, ändern sich bei CV₂b-Aromaten-Zusatz mit steigender Ladelufttemperatur die p_{me_1} -Werte anfangs schnell, später nur noch wenig.

Auch bei den p_{me_2} -Werten wird die Bleiwirkung von der Ladelufttemperatur stark beeinträchtigt. Am besten gibt hier wiederum eine Gegenüberstellung über die gegenseitige Abhängigkeit von Bleigehalt und Ladelufttemperatur Aufschluss:

	CV ₂ b-Aromaten-Zusatz + 0,16 Vol.-% BTA	ET 100-Zusatz + 0,16 Vol.-% BTA
Ladelufttemperatur 50°	$p_{me_2} = 13$ at	10,6
100	" = 5,9	6,8
150	" = 3,9	5,0
200	" = 3,2	4,0

Denn es ist bei niedriger Ladelufttemperatur von 50° der p_{me_2} -Wert grösser bei CV₂b-Aromaten-Zusatz, aber schon bei etwa 100° Ladelufttemperatur tritt eine Überschneidung ein, denn jetzt liegen die p_{me_2} -Werte bei ET 100-Zusatz höher.

III. Zusammenhang mit der Motoroktanzahl.

Auf Blatt TPr.S.1069 (Bild 2 unten) ist die Motoroktanzahl in Abhängigkeit vom Bleigehalt aufgetragen. Danach weist die Kraftstoffmischung aus 60% VT 705 und 40% ET 100 bei 0,12 Vol.% Bleigehalt eine Motoroktanzahl von 100 auf, während bei 40 Vol.% CV₂b-Aromaten-Zusatz die Motoroktanzahl nur 92 beträgt. Im Gegensatz dazu liegen, wie Blatt TPr.S.1078 zeigt, die Klopfgrenzkurven bei CV₂b-Aromaten-Zusatz höher als bei ET 100 - Zusatz, wie folgende Gegenüberstellung bei 50°C Ladelufttemperatur ergibt:

	MOZ	p_{me_1} at	p_{me_2} at
40% CV ₂ b-Aromaten-Zusatz + 0,12 Vol.% Blei	92	19,3	13,9
40% ET 100 - Zusatz + 0,12 Vol.% Blei	100	11,8	9,8

Die gleichen Feststellungen wie bei den beiden untersuchten Kraftstoffmischungen hinsichtlich Temperaturempfindlichkeit macht man, wenn man die Klopfgrenzkurve von unvermischten Stoffen bei verschiedenen Ladelufttemperaturen aufnimmt, wie dies auf Blatt TPr.S.1068 für ET 100 und Flugbenzol bei 160, 180, 200 und 220° Ladelufttemperatur geschehen ist. Legt man beispielweise bei der Luftüberschusszahl $\lambda = 0,85$ einen Schnitt, so ergeben sich folgende Arbeitsdrücke p_{me} :

	für ET 100	für Flugbenzol
Ladelufttemperatur 160°	5,9 at	13,6 at
200°	5,2	6,9
220°	4,7	4,4

Daraus erkennt man, wie stark sich im Gegensatz zu ST 100 der Arbeitsdruck bei Flugbenzol mit der Ladelufttemperatur ändert.

Der grössere Einfluss der Ladelufttemperatur bei aromatischen Kraftstoffgemischen konnte auch noch in einer weiteren Versuchsreihe nachgewiesen werden. Aus den schon wiederholt aufgenommenen Klopfgrenzkurven für B 4, C 3, C 2 und ST 100 (sämtlich mit 0,12 Vol.-% BPA) wurden bei verschiedenen Verdichtungsverhältnis von 6,5 bzw. 8 und bei verschiedener Ladelufttemperatur von 80 bzw. 130° die p_{ne1} , p_{ne2} und Δp_{ne} -Werte ermittelt. Bildet man nun bei gleichem Verdichtungsverhältnis die Unterschiede aus den p_{ne1} , p_{ne2} und Δp_{ne} -Werte bei 80 und 130° Ladelufttemperatur, so erkennt man, dass bei den aromatischen Kraftstoffen C 2 und C 3 diese Unterschiede grösser sind als bei ST 100 oder B 4, wie die nachstehende Zahlentafel zeigt.

Verdichtungsverhältnis 1:8

	Ladelufttemperatur = 130°	Ladelufttemperatur = 80°	Unterschied infolge Änderung der Lade- lufttemperatur
<u>ST 100</u>			
p_{ne1}	17,3	17,6	0,3
p_{ne2}	13,2	16,7	3,5
Δp_{ne}	4,1	0,9	3,2
<u>C 2</u>			
p_{ne1}	17,5	18,1	0,6
p_{ne2}	6,5	12,5	4,0
Δp_{ne}	9,0	5,6	4,4
<u>C 3</u>			
p_{ne1}	15,5	16,1	0,6
p_{ne2}	7,2	11,5	4,3
Δp_{ne}	8,3	4,6	3,7
<u>ST 100</u>			
p_{ne1}	10,6	10,7	0,1
p_{ne2}	5,8	8,1	2,3
Δp_{ne}	4,2	2,6	1,6

*) In diesem Falle handelt es sich um von der DVL aufgenommene Klopfgrenzkurven.

Verdichtungsverhältnis 1:6,5

	Ladelufttemperatur - 30°	Ladelufttemperatur - 80°	Unterschied infolge Änderung der Lade- lufttemperatur
<u>St. 100</u>			
P_{m0_1}	21	22,5	0,4
P_{m0_2}	17,8	21,4	3,6
ΔP_{m0}	3,3	1,1	2,2
<u>St. 2</u>			
P_{m0_1}	22,4	23,5	1,1
P_{m0_2}	15,6	17,5	3,9
ΔP_{m0}	8,8	6,0	2,8
<u>St. 3</u>			
P_{m0_1}	19,2	20,6	1,4
P_{m0_2}	12,6	15,8	4,2
ΔP_{m0}	7,6	4,8	2,8
<u>St. 100</u>			
P_{m0_1}	2,3	2,7	0,4
P_{m0_2}	8,6	12,1	2,5
ΔP_{m0}	3	1,6	2,1

Wittkowski

Penz

Klopfgrenzkurven.

Verflüchtungsverhältnis 1:8

Ladelufttemperatur — °C

Motor Nr. 100/100

Motor Nr. 5

Bau: Op. 290

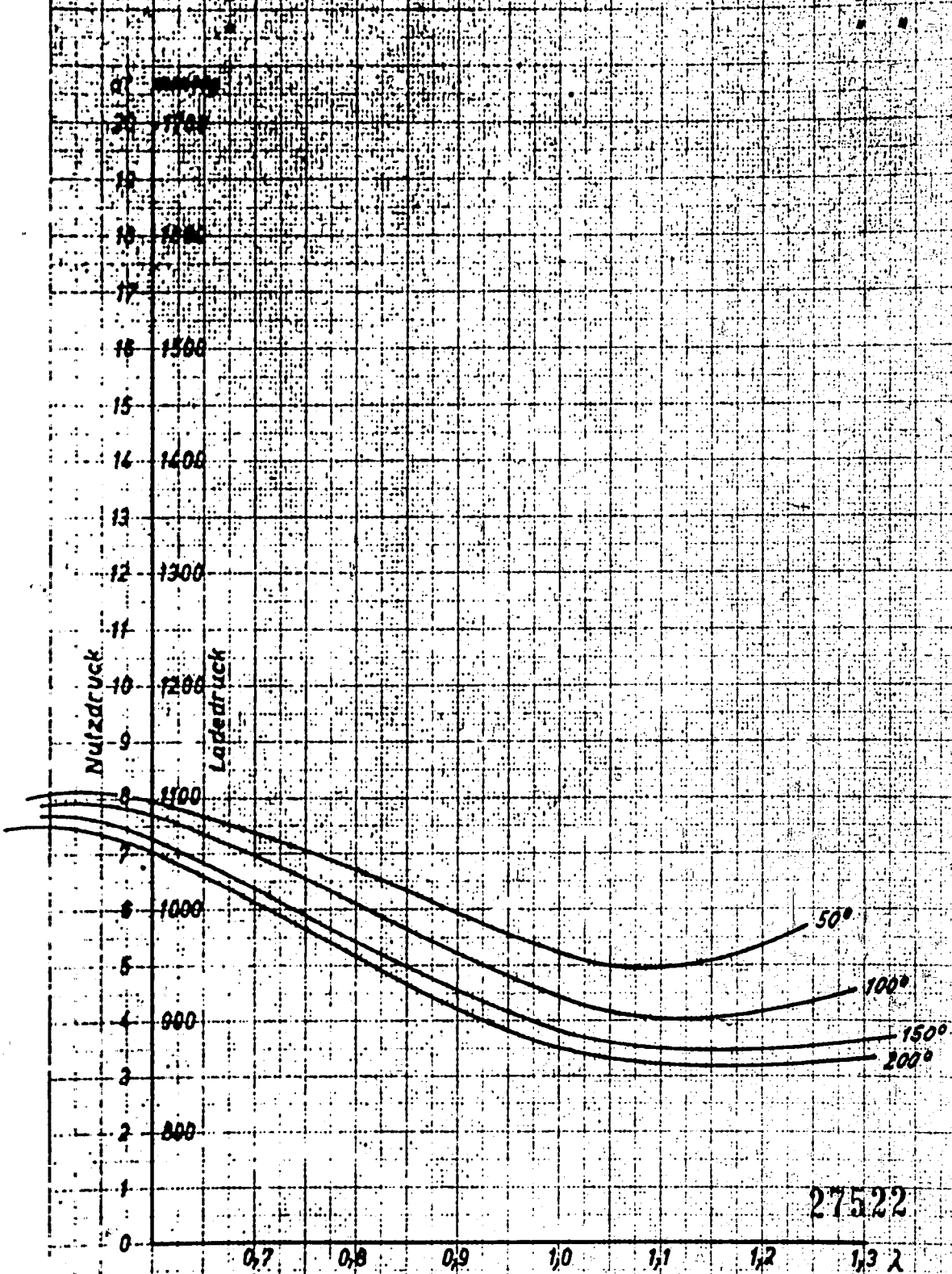
Probe: Ölverfl. 100/100, Ölverfl. 100 (unverbleit)

Vers. Nr.

Nutzdruck
Ladedruck

11
10
9
8
7
6
5
4
3
2
1
0

1500
1400
1300
1200
1100
1000
900
800



27522

Klopfgrenzkurven

Verdichtungsmodell Nr. 1.0

Verdichtungsmodell Nr. 1.0

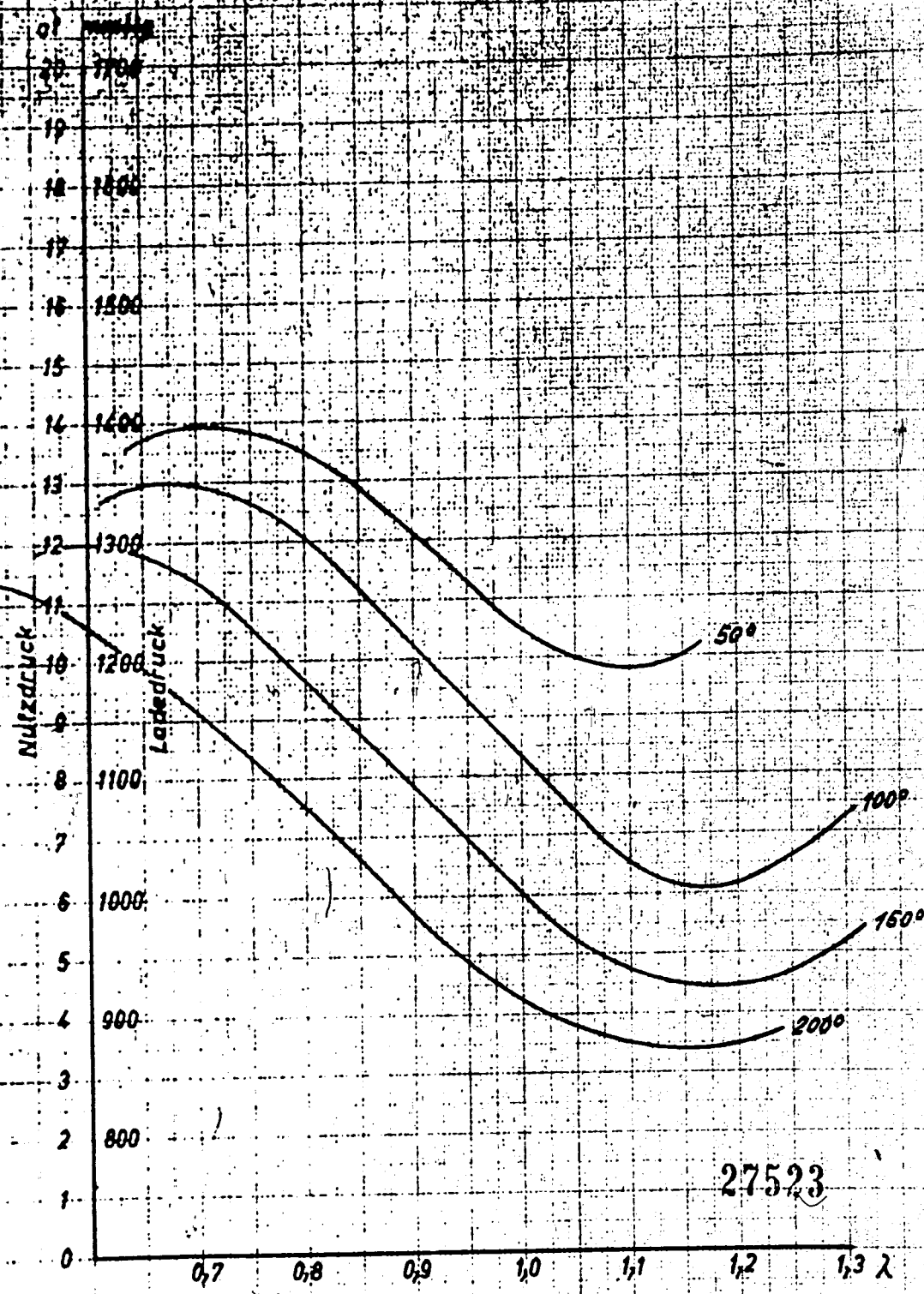
PROBEN NR. 2117/132

PROBEN NR. 2

PROBEN NR. 200

Probe: 30 mm Ø x 11,7 mm L. NIP 17-17, 1200-0, 1200-1, 1200-2, 1200-3, 1200-4, 1200-5, 1200-6, 1200-7, 1200-8, 1200-9, 1200-10, 1200-11, 1200-12, 1200-13, 1200-14, 1200-15, 1200-16, 1200-17, 1200-18, 1200-19, 1200-20, 1200-21, 1200-22, 1200-23, 1200-24, 1200-25, 1200-26, 1200-27, 1200-28, 1200-29, 1200-30, 1200-31, 1200-32, 1200-33, 1200-34, 1200-35, 1200-36, 1200-37, 1200-38, 1200-39, 1200-40, 1200-41, 1200-42, 1200-43, 1200-44, 1200-45, 1200-46, 1200-47, 1200-48, 1200-49, 1200-50, 1200-51, 1200-52, 1200-53, 1200-54, 1200-55, 1200-56, 1200-57, 1200-58, 1200-59, 1200-60, 1200-61, 1200-62, 1200-63, 1200-64, 1200-65, 1200-66, 1200-67, 1200-68, 1200-69, 1200-70, 1200-71, 1200-72, 1200-73, 1200-74, 1200-75, 1200-76, 1200-77, 1200-78, 1200-79, 1200-80, 1200-81, 1200-82, 1200-83, 1200-84, 1200-85, 1200-86, 1200-87, 1200-88, 1200-89, 1200-90, 1200-91, 1200-92, 1200-93, 1200-94, 1200-95, 1200-96, 1200-97, 1200-98, 1200-99, 1200-100

Verz. Nr.



27523

Klopfgrenzkurven.

Verdichtungsverhältnis 1:6

Ladelufttemperatur: — °C

Motortyp: BMW 132

Motor Nr.: 5

Bau: Op. 290

Probe: 60 vol. % VT 705 + 40 vol. % C12 Aromaten (unverbleit)

Vers. Nr.

" "

" "

at mmHg

20 1700

19

18 1600

17

16 1500

15

14 1400

13

12 1300

11

10 1200

9

8 1100

7

6 1000

5

4 900

3

2 800

1

0

Nutzdruck

Ladedruck

50°

100°

200°

27525

0,7

0,8

0,9

1,0

1,1

1,2

1,3 λ

Klopfgrenzkurven

Verdichtungsverhältnis 1:8

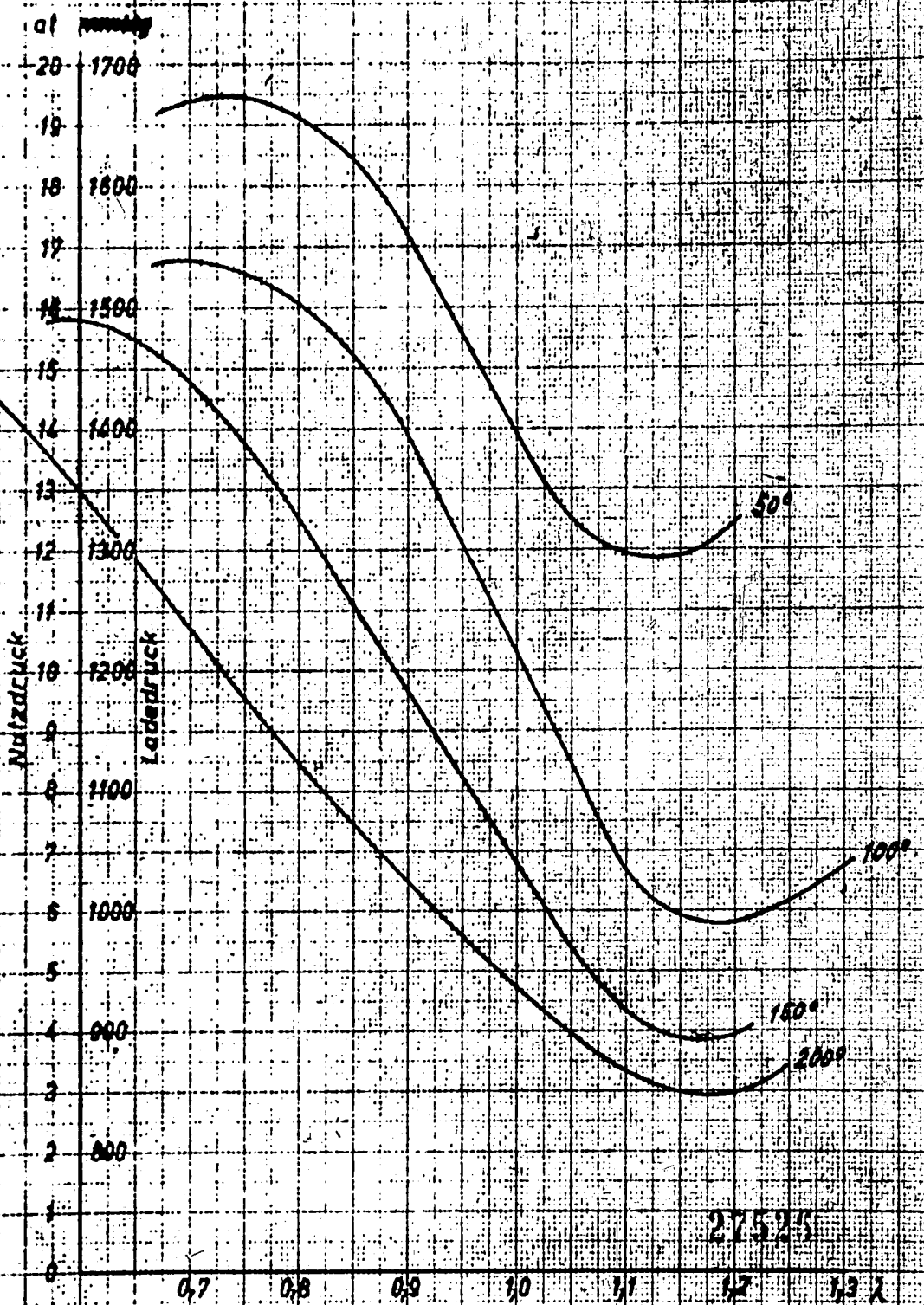
Ladelufttemperatur — °C

Motortyp: BMW 138

Motor Nr.: 5

Bau: Op. 290

Probe: 60 vol % VT 705 + 40 vol % CV 2 b Brennstoff + 0,12 vol % B. T. H. Vers. Nr.



27525

Klopfgrenzkurven

Verdichtungsverhältnis 1:8

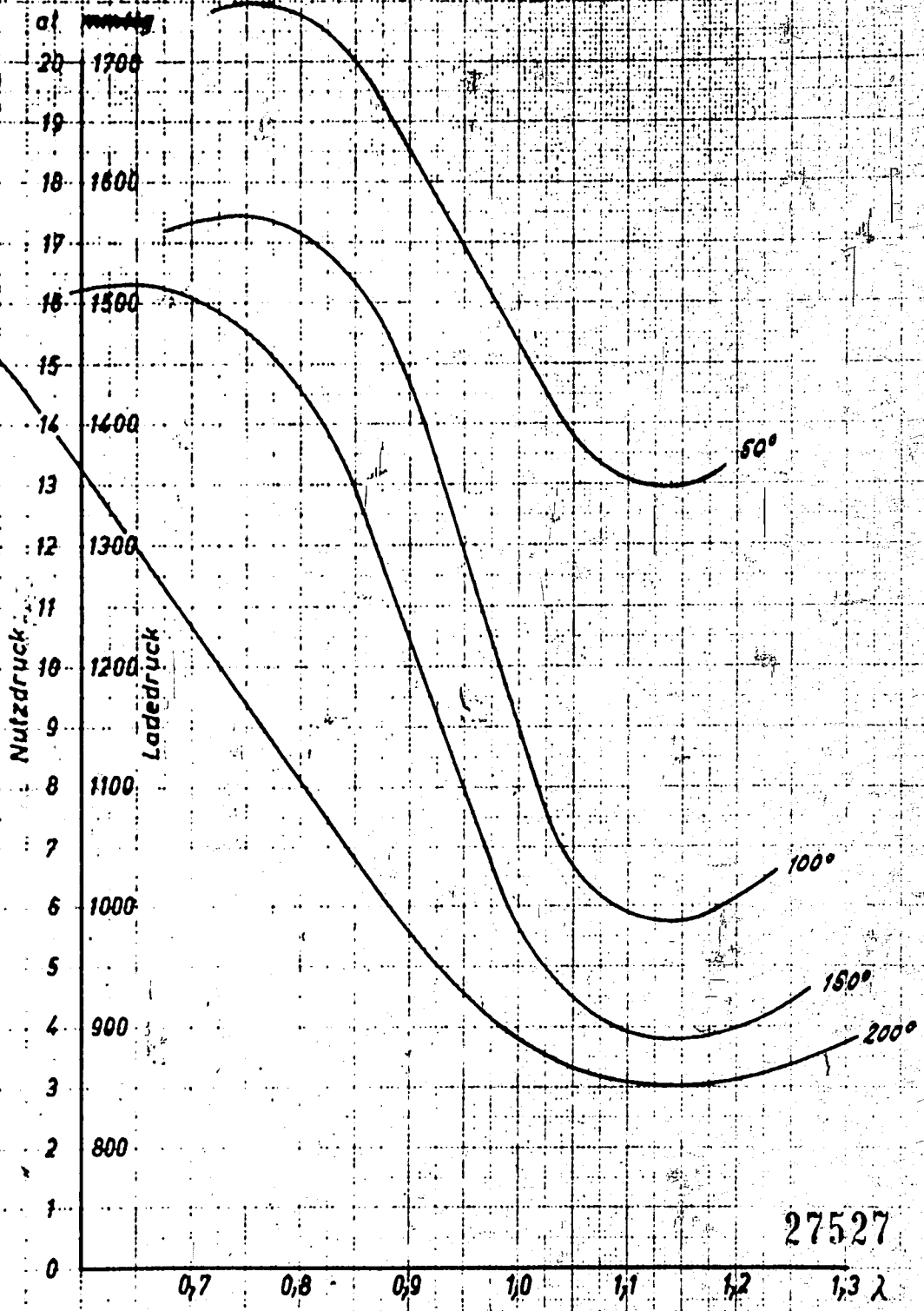
Ladelufttemperatur — °C

Motor Typ: BMW 732

Motor Nr.: 5

Drehm. 900-290

Probe: 60 vol. % VT 705 + 40 vol. % CVA Normolene + Q16 vol. % B.T.A. Vers. Nr.



27527

Hauptdruckkurven

Wandstärkeverhältnis 1:2

Ladungstemperatur — °C

MOLOTYPE-METAL

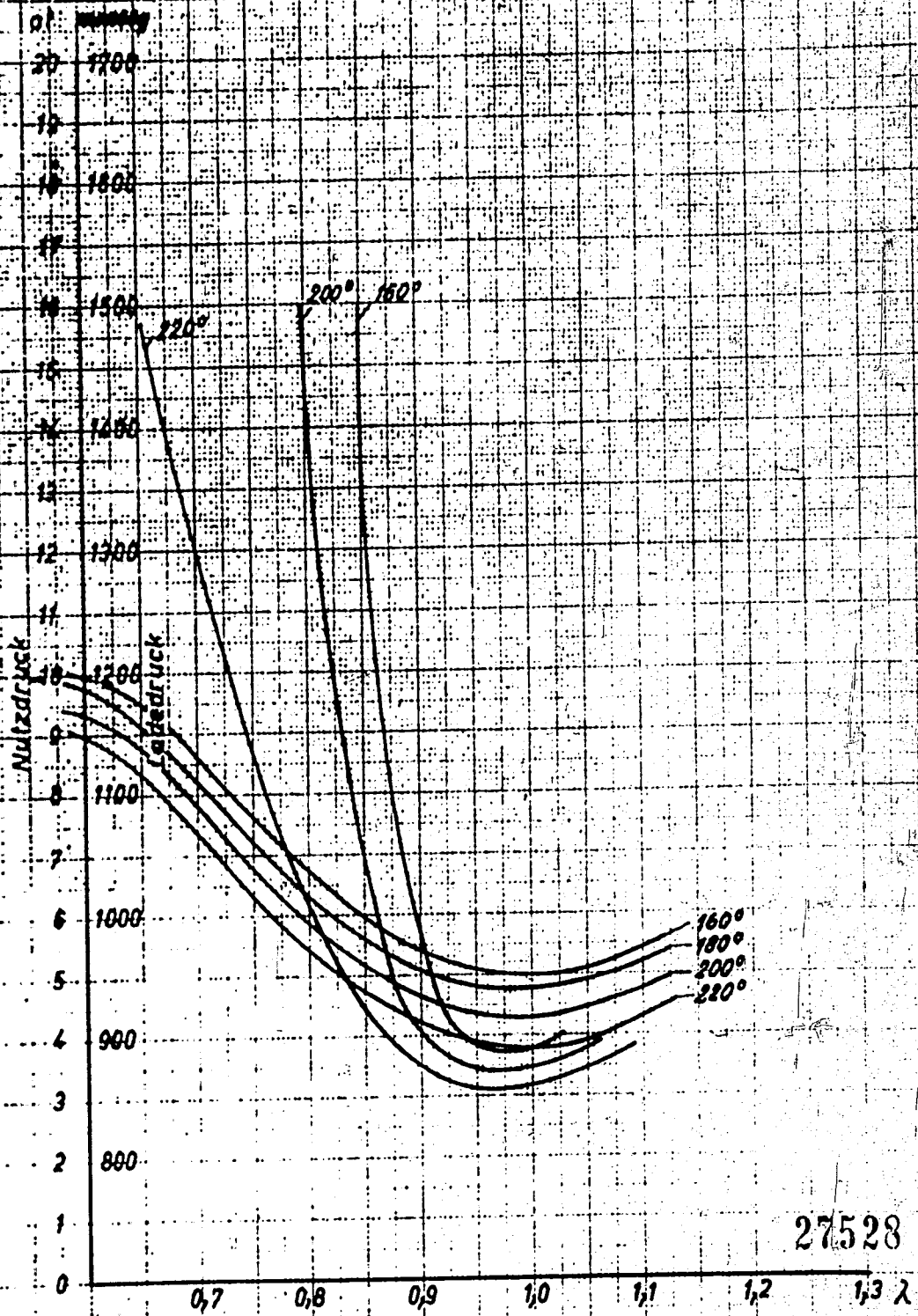
MOLOTYPE-METAL

Blatt 09.280

• Ebbw. Flugze. (unverbleit.)
• 81100 (" ")
• " " " " "

Vers. Nr.

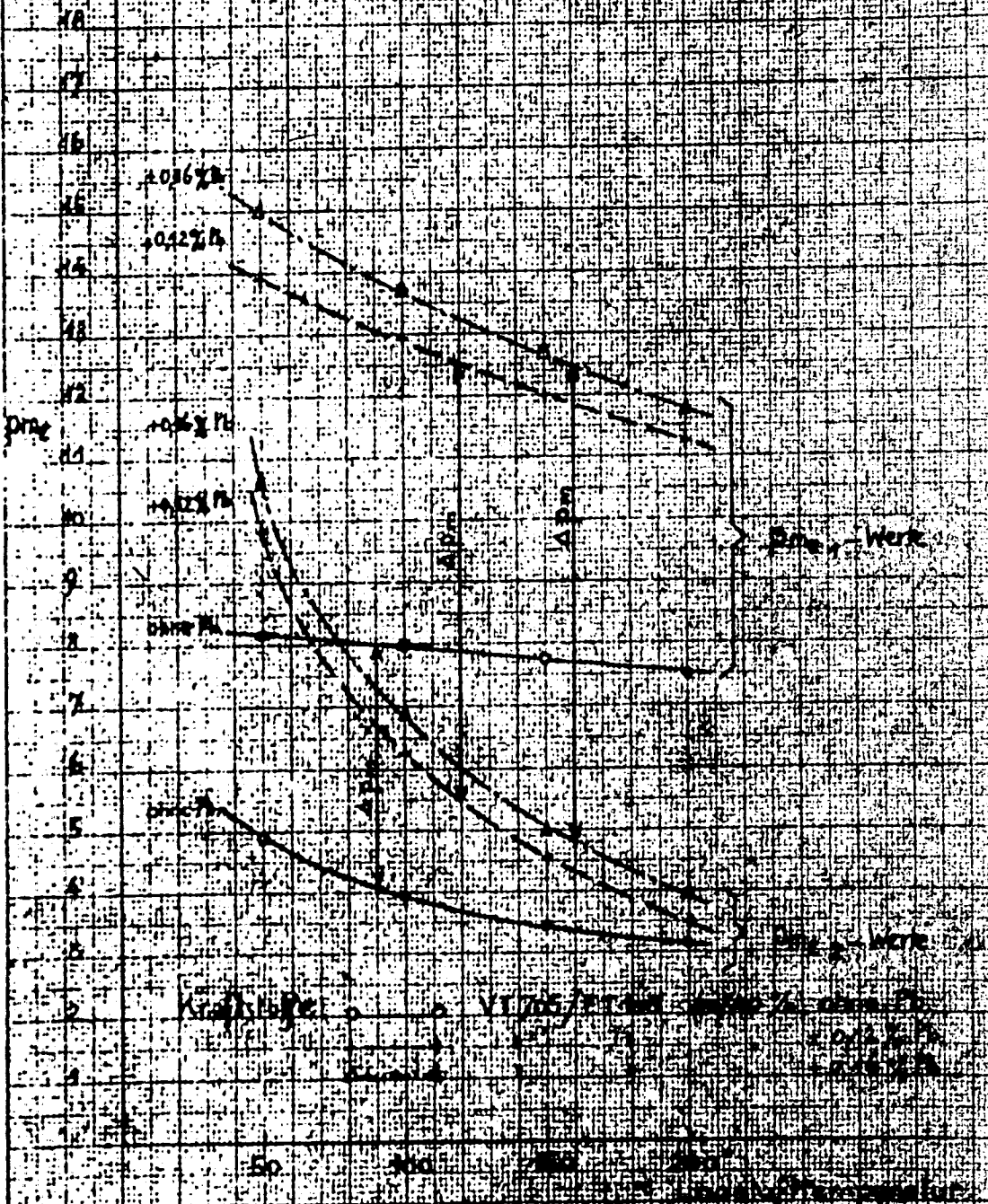
•
•
•



27528

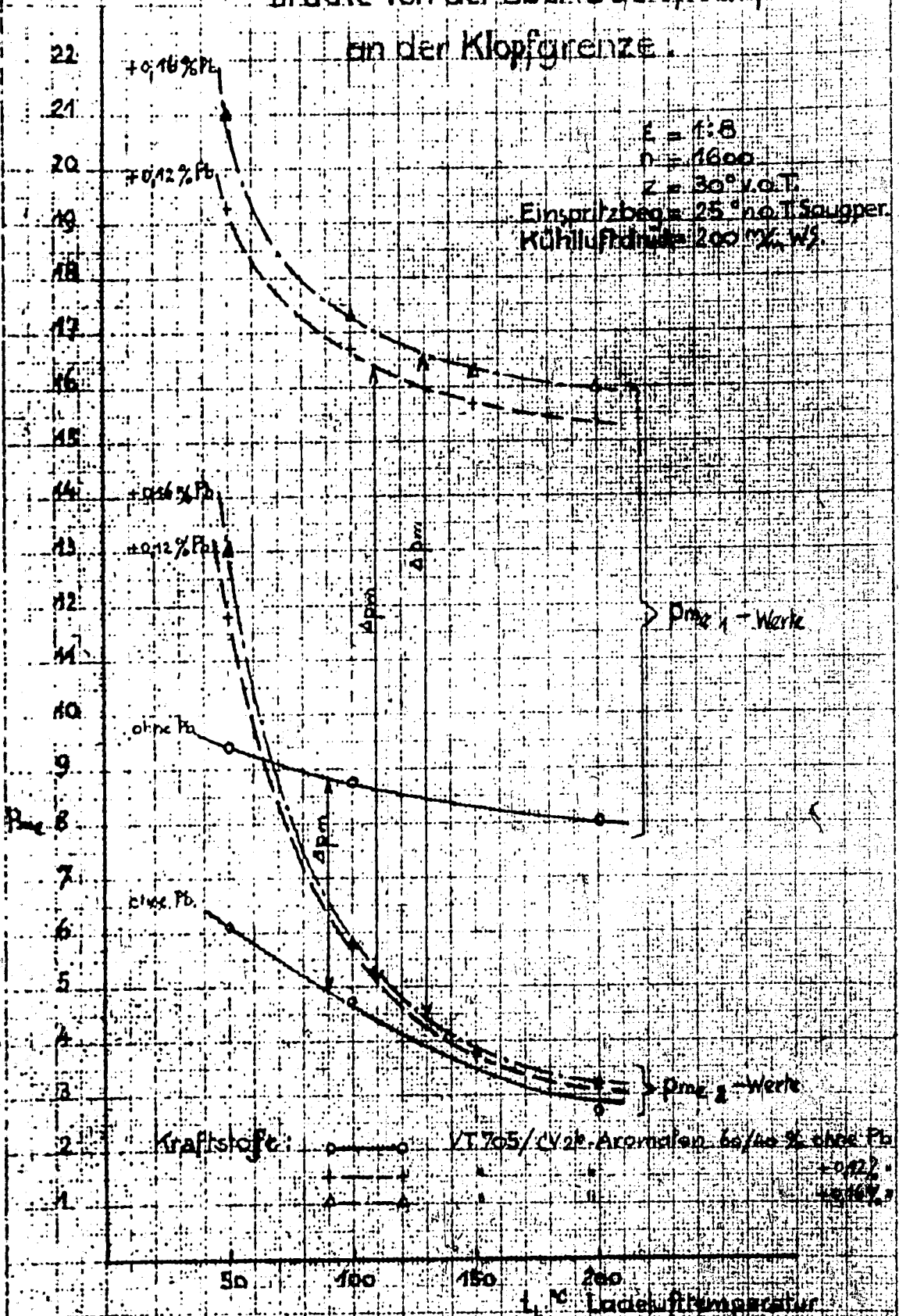
Abhängigkeit der max. u. min. Arbeitsdrücke von der Überladelufttemp. an der Klopfgrenze.

$\epsilon = 1,18$
 $\rho = 1,200$
 $Z = 30 \text{ Vort}$
 Eisenkugeln 25° mit Saugpumpe
 Klopfdruck 200 g/cm^2



Abhängigkeit der max. u. min. Arbeits- Drücke von der Überladelufttemp.

an der Klopfgrenze.



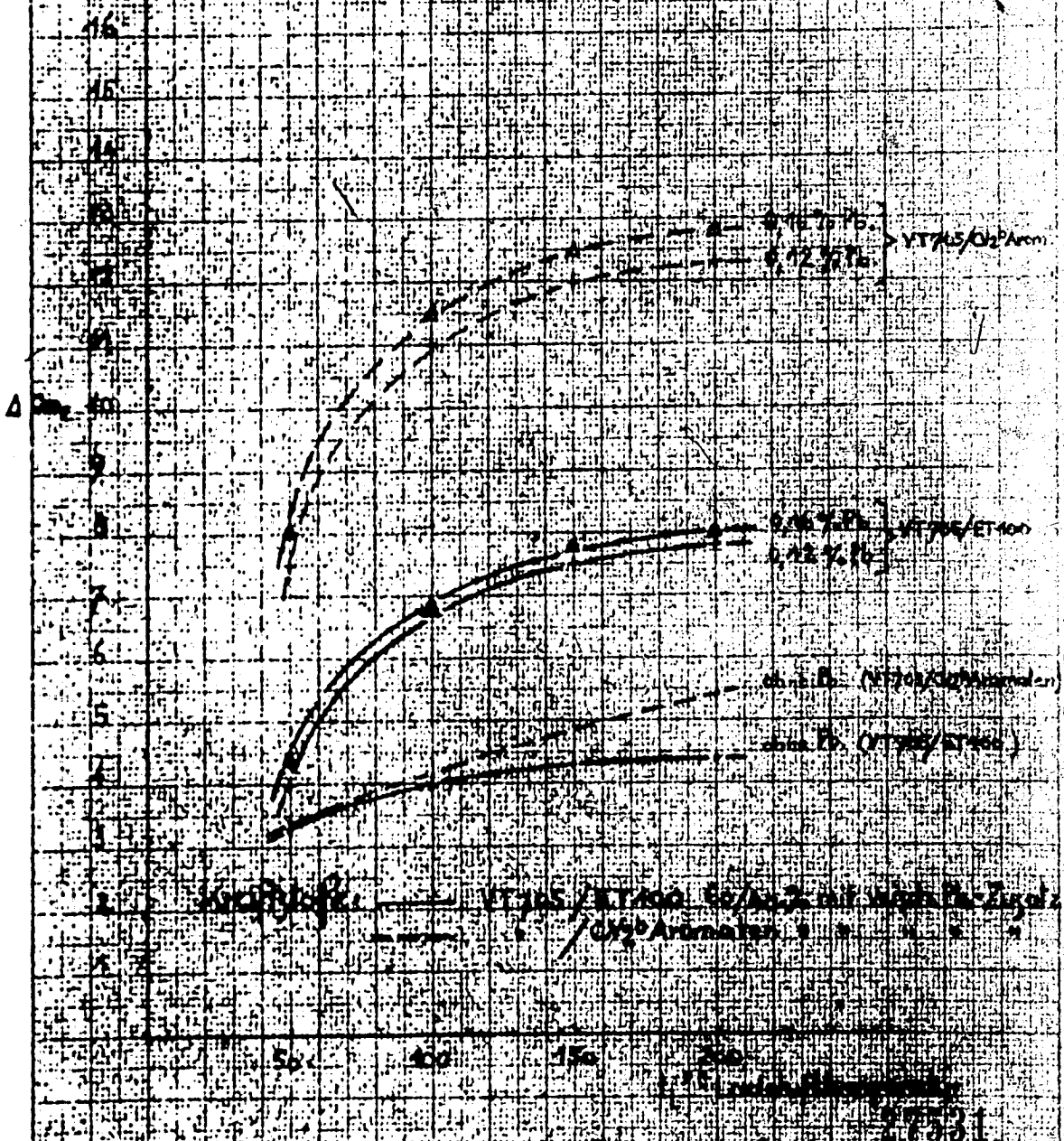
27539

Abhängigkeit des $\Delta p_{m,2}$ -Druckes von der Überladelufttemp. an der Klopfgrenze.

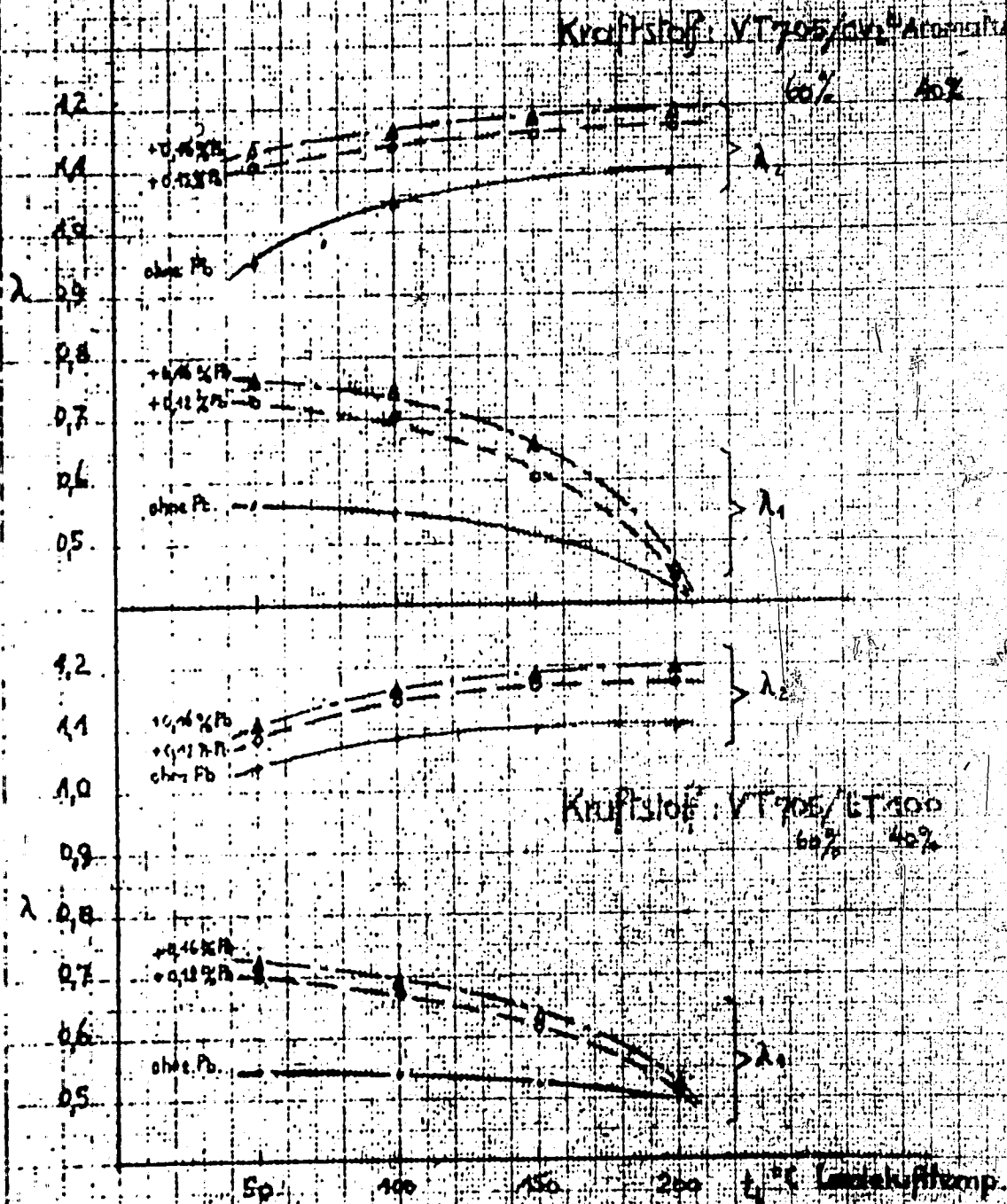
$d = 118$
 $n = 1600$

$\lambda = 50\% \text{ v. T.}$

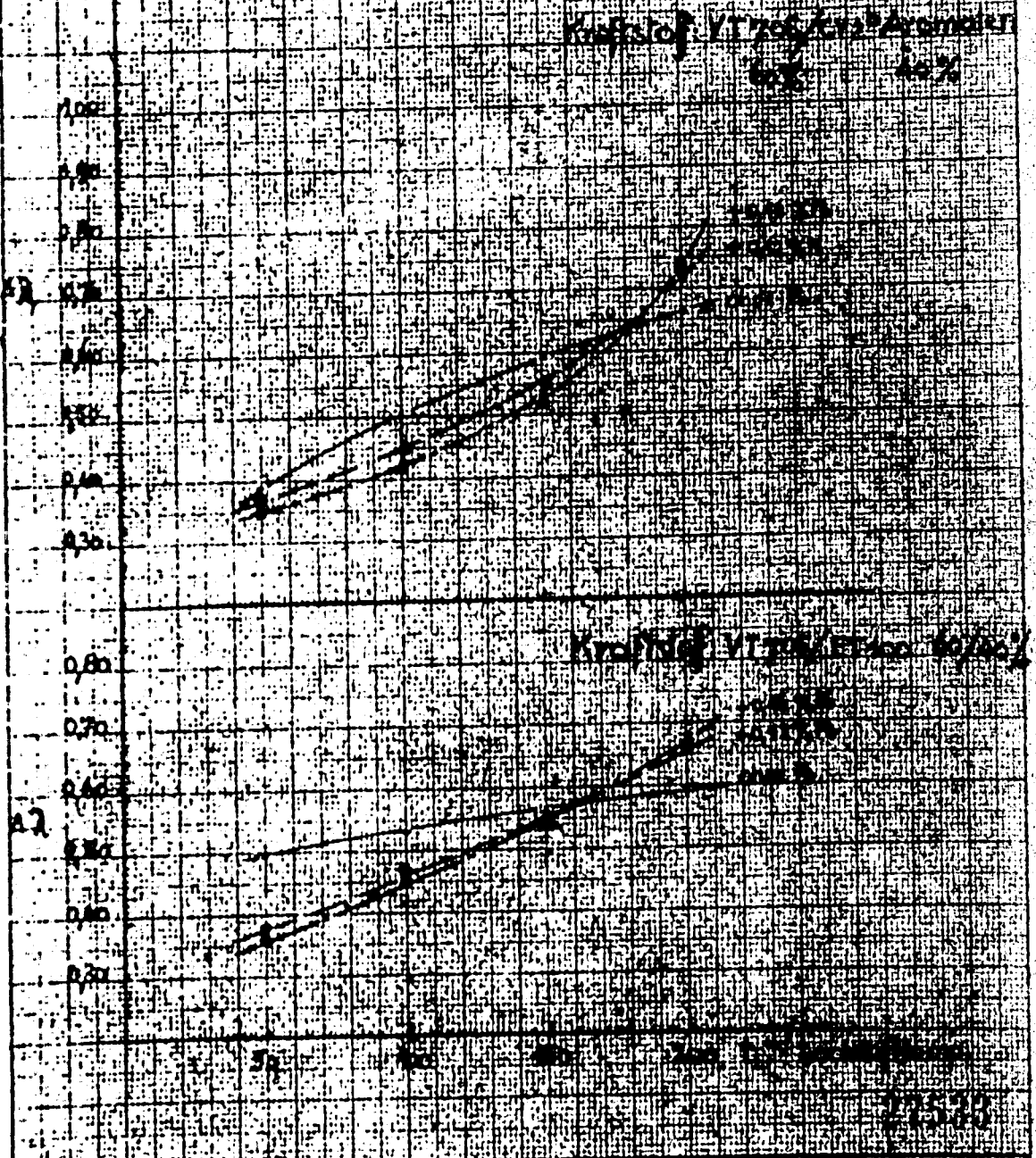
Erprobungsdruck: $25\% \text{ v. T.}$ (Saugdruck)
Külluftdruck: $200\% \text{ v. WS.}$



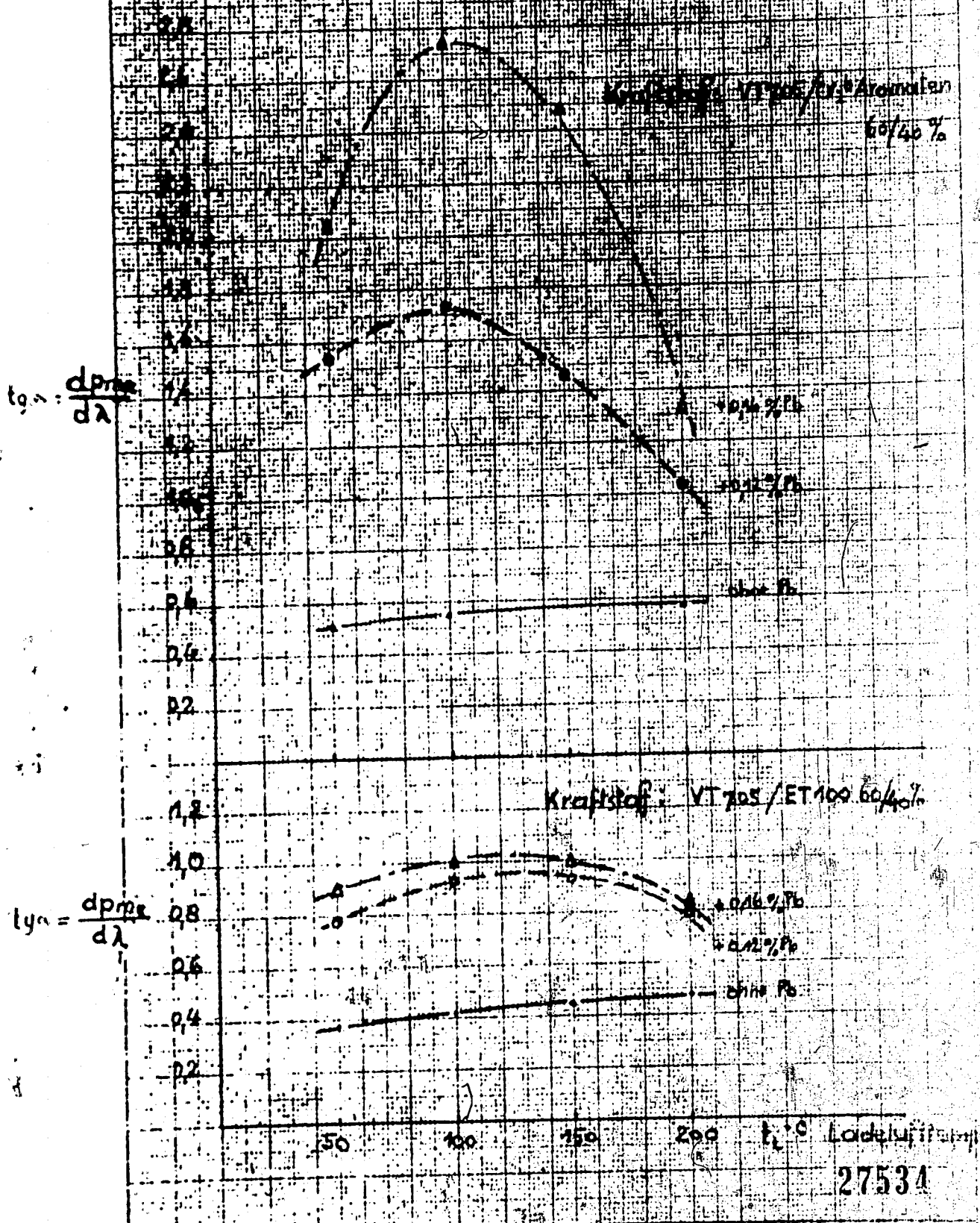
Abhängigkeit der Luftüberschubzahl
(an den max. u. min. Arbeitsdrücken) von
der Überlandlufttemperatur an der
Klopfgrenze.



Abhängigkeit der λ -Luftüberschubzahl von der Oberflächentemperatur an der Klopfgrenze

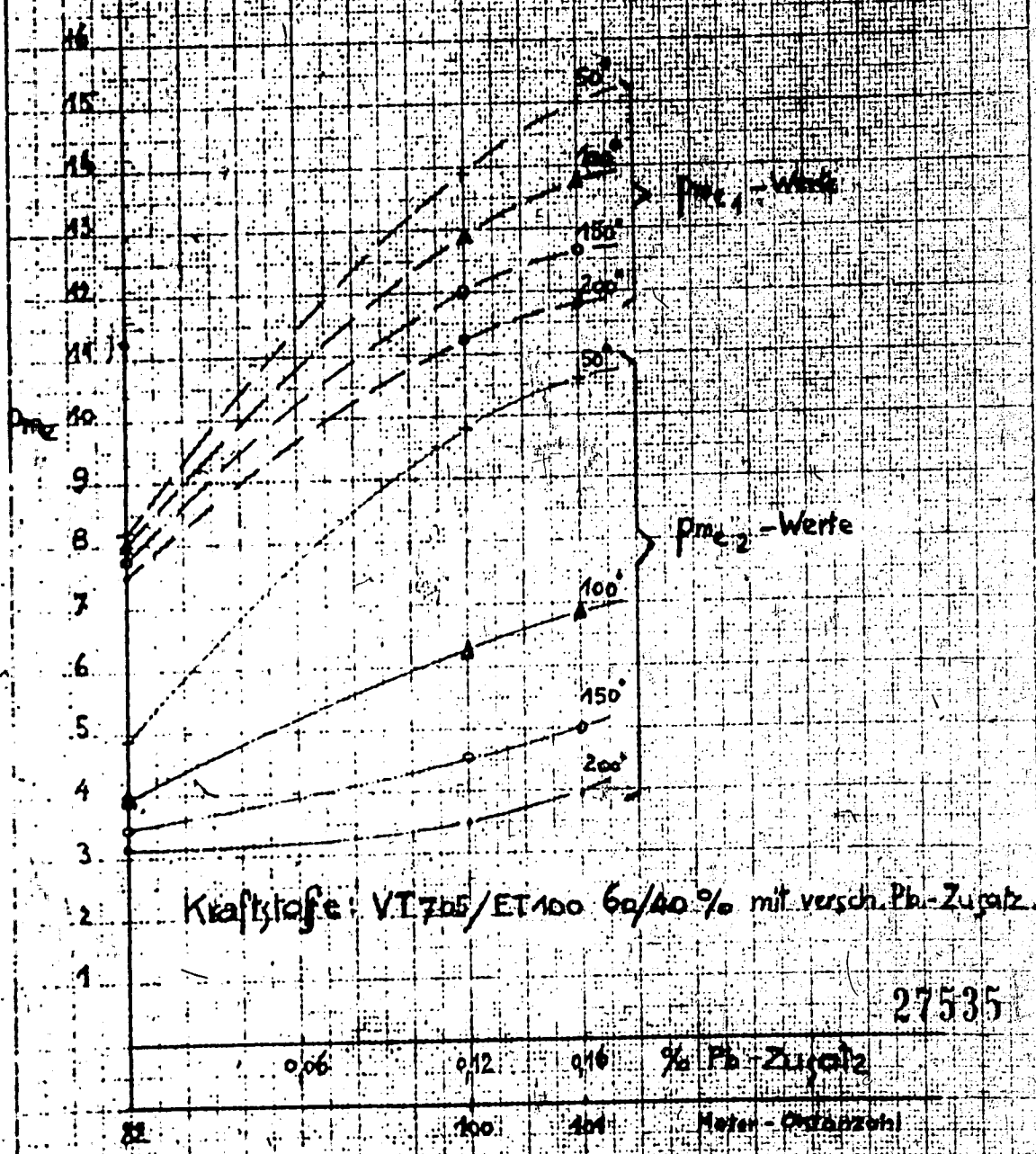


**Abhängigkeit der $\frac{dpm_{\lambda}}{d\lambda}$ -Werte
von der Ladefrequenz
bei der Filterkurve**



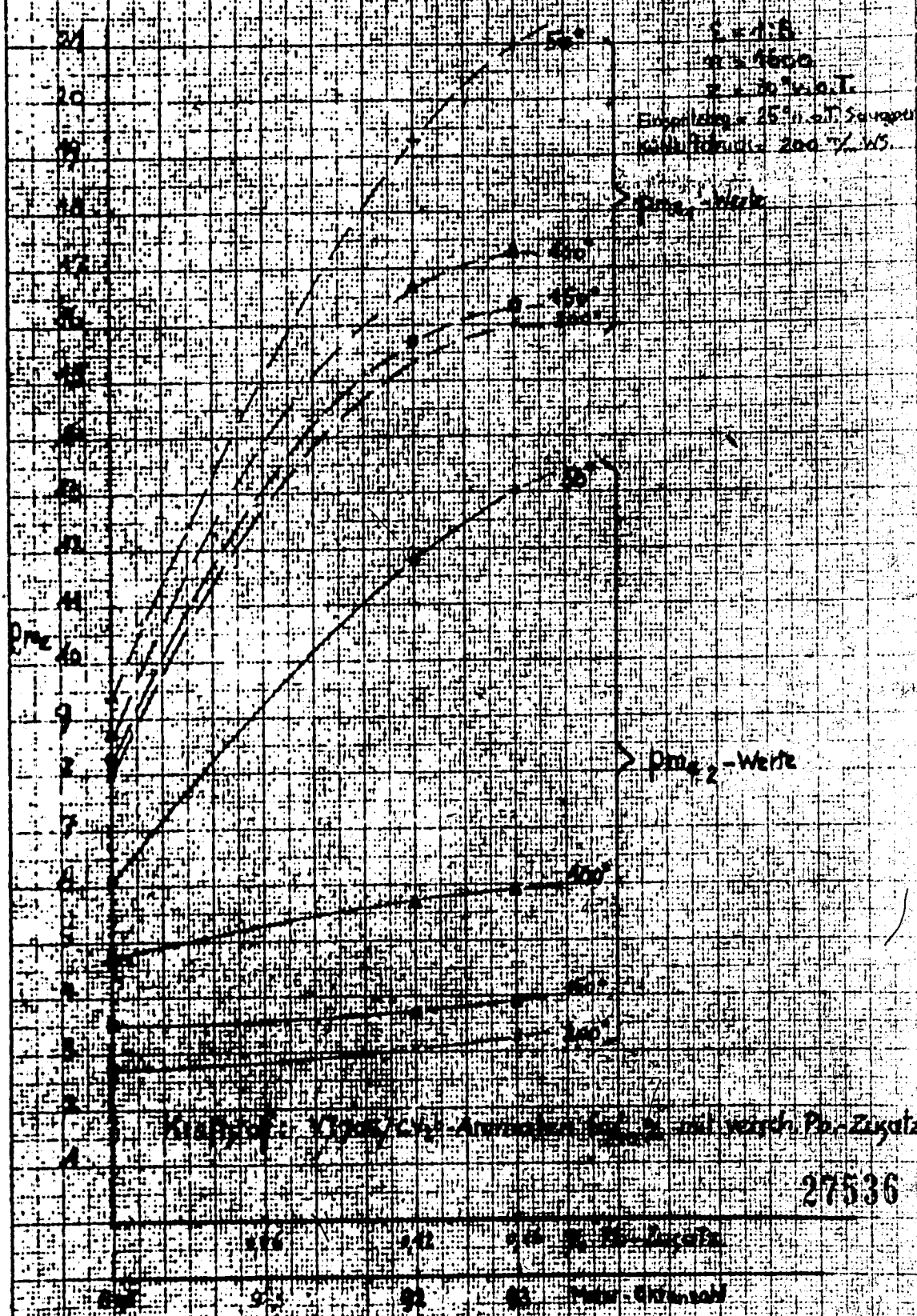
27531

Abhängigkeit der Maximalabgabe (Werte vom Pb-Zusatz an der Klopfgrenze)



27535

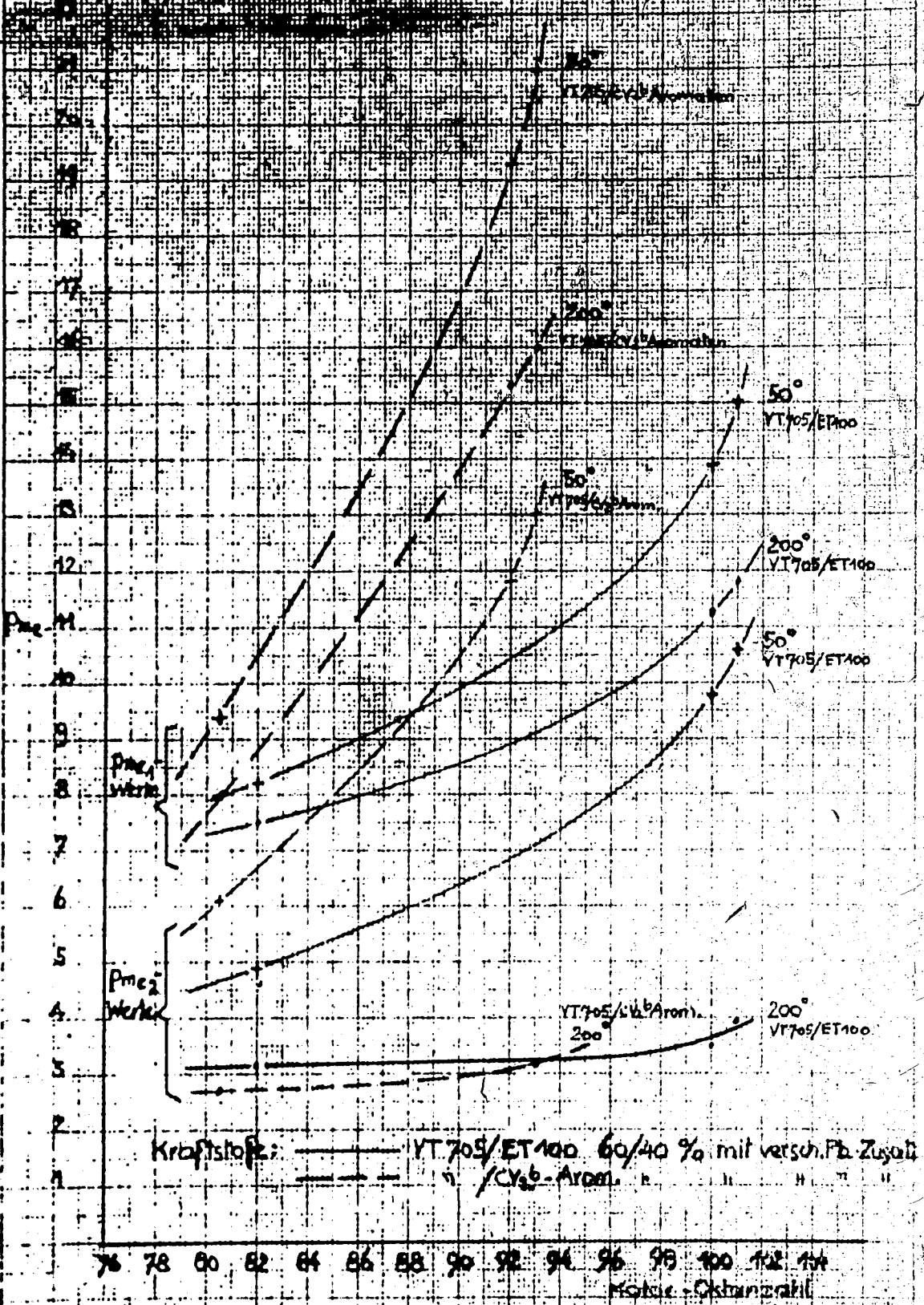
Abhängigkeit der max. u. min. Arbeitsdrücke vom Pb-Zusatz an der Kriechgrenze



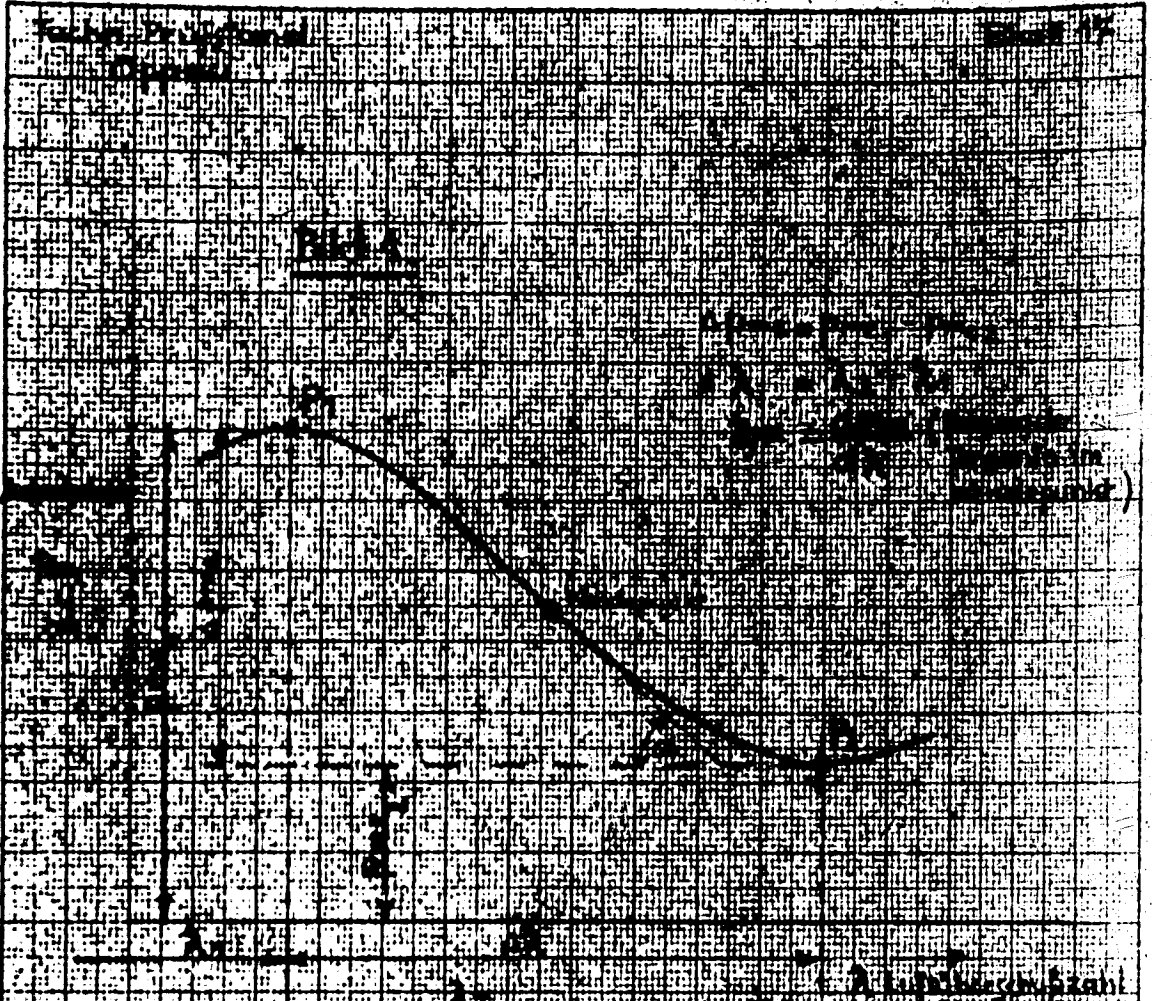
Kriechformzahl 200% u. 45% - Anwesenheit von Pb mit versch. Pb-Zusatz

27536

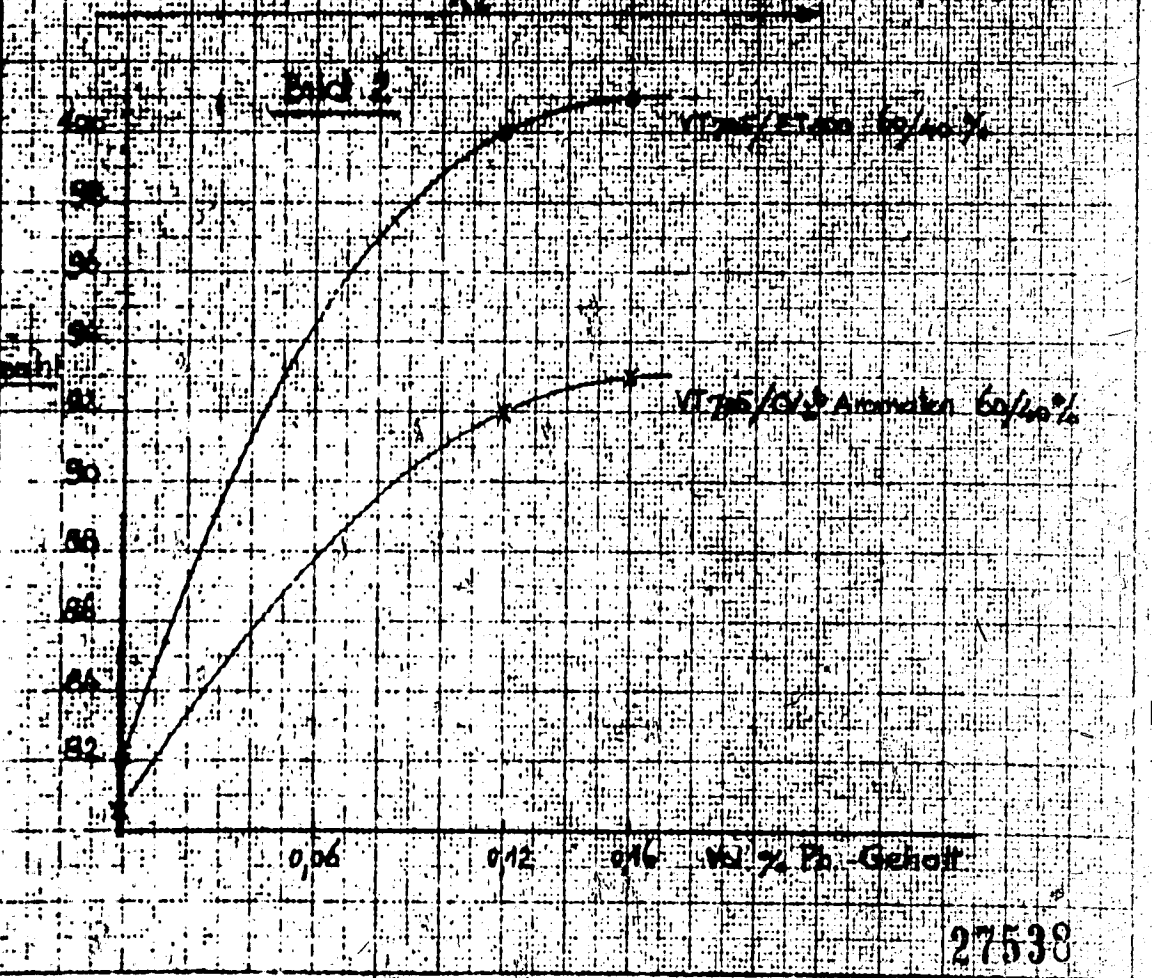
Abhängigkeit des p_{max} u. min. Arbeitsdrücke von der Motorrotanzahl an der Klopfgrenze.



27537



Motor-Oktanzahl



27538

Übersicht

Leistungsdiagramm

Viskosität von Kraftstoffen

100 150 200 250 300 350 400 450 500 550 600 650 700 750 800

100 150 200 250 300 350 400 450 500 550 600 650 700 750 800

100 150 200 250 300 350 400 450 500 550 600 650 700 750 800

100 150 200 250 300 350 400 450 500 550 600 650 700 750 800

100 150 200 250 300 350 400 450 500 550 600 650 700 750 800

100 150 200 250 300 350 400 450 500 550 600 650 700 750 800

100 150 200 250 300 350 400 450 500 550 600 650 700 750 800

100 150 200 250 300 350 400 450 500 550 600 650 700 750 800

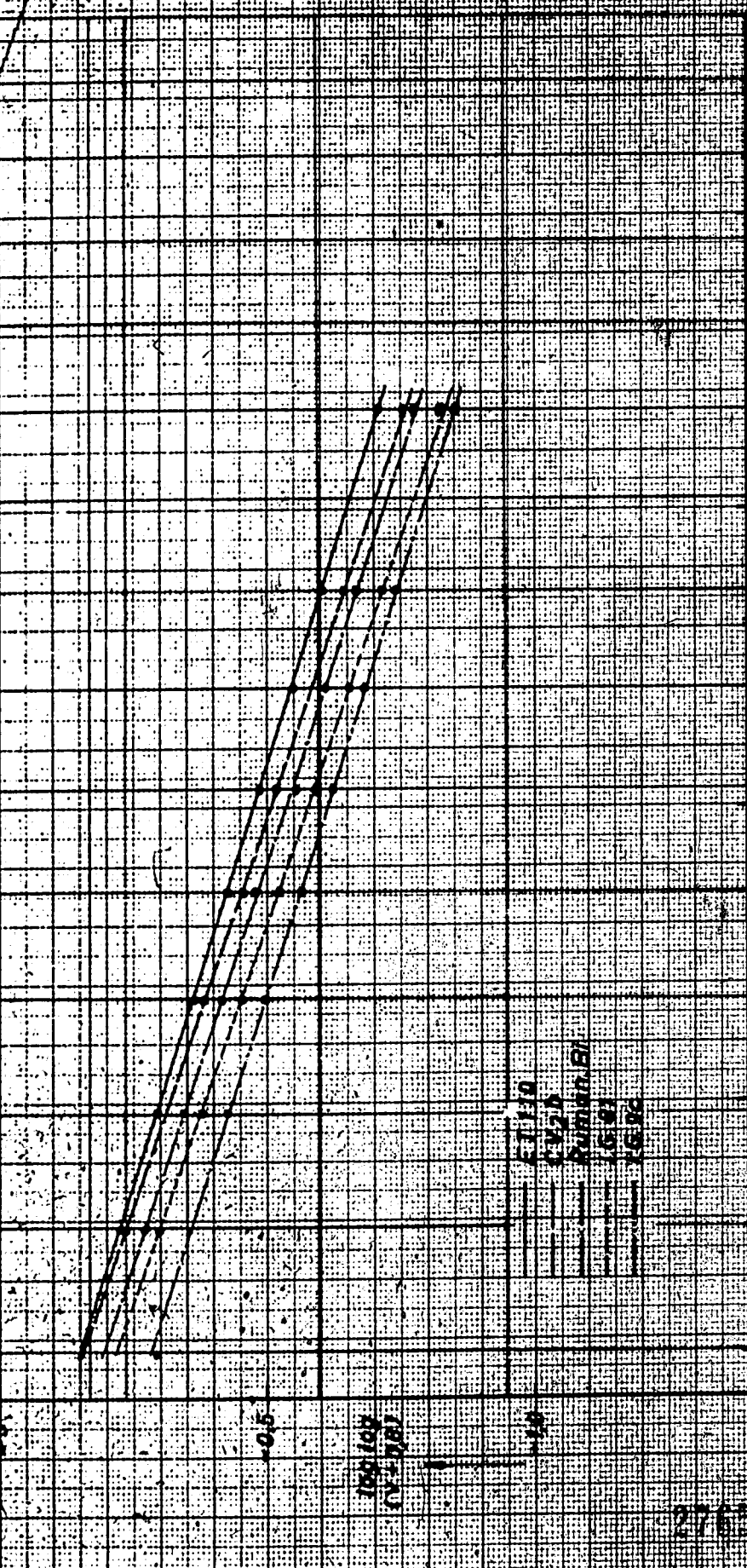
100 150 200 250 300 350 400 450 500 550 600 650 700 750 800

100 150 200 250 300 350 400 450 500 550 600 650 700 750 800

100 150 200 250 300 350 400 450 500 550 600 650 700 750 800

100 150 200 250 300 350 400 450 500 550 600 650 700 750 800

100 150 200 250 300 350 400 450 500 550 600 650 700 750 800



1. 1. 1920
 2. 1. 1921
 3. 1. 1922
 4. 1. 1923
 5. 1. 1924
 6. 1. 1925
 7. 1. 1926
 8. 1. 1927
 9. 1. 1928
 10. 1. 1929
 11. 1. 1930
 12. 1. 1931
 13. 1. 1932
 14. 1. 1933
 15. 1. 1934
 16. 1. 1935
 17. 1. 1936
 18. 1. 1937
 19. 1. 1938
 20. 1. 1939
 21. 1. 1940
 22. 1. 1941
 23. 1. 1942
 24. 1. 1943
 25. 1. 1944
 26. 1. 1945
 27. 1. 1946
 28. 1. 1947
 29. 1. 1948
 30. 1. 1949
 31. 1. 1950
 32. 1. 1951
 33. 1. 1952
 34. 1. 1953
 35. 1. 1954
 36. 1. 1955
 37. 1. 1956
 38. 1. 1957
 39. 1. 1958
 40. 1. 1959
 41. 1. 1960
 42. 1. 1961
 43. 1. 1962
 44. 1. 1963
 45. 1. 1964
 46. 1. 1965
 47. 1. 1966
 48. 1. 1967
 49. 1. 1968
 50. 1. 1969
 51. 1. 1970
 52. 1. 1971
 53. 1. 1972
 54. 1. 1973
 55. 1. 1974
 56. 1. 1975
 57. 1. 1976
 58. 1. 1977
 59. 1. 1978
 60. 1. 1979
 61. 1. 1980
 62. 1. 1981
 63. 1. 1982
 64. 1. 1983
 65. 1. 1984
 66. 1. 1985
 67. 1. 1986
 68. 1. 1987
 69. 1. 1988
 70. 1. 1989
 71. 1. 1990
 72. 1. 1991
 73. 1. 1992
 74. 1. 1993
 75. 1. 1994
 76. 1. 1995
 77. 1. 1996
 78. 1. 1997
 79. 1. 1998
 80. 1. 1999
 81. 1. 2000
 82. 1. 2001
 83. 1. 2002
 84. 1. 2003
 85. 1. 2004
 86. 1. 2005
 87. 1. 2006
 88. 1. 2007
 89. 1. 2008
 90. 1. 2009
 91. 1. 2010
 92. 1. 2011
 93. 1. 2012
 94. 1. 2013
 95. 1. 2014
 96. 1. 2015
 97. 1. 2016
 98. 1. 2017
 99. 1. 2018
 100. 1. 2019
 101. 1. 2020
 102. 1. 2021
 103. 1. 2022
 104. 1. 2023
 105. 1. 2024
 106. 1. 2025
 107. 1. 2026
 108. 1. 2027
 109. 1. 2028
 110. 1. 2029
 111. 1. 2030

